

рещённые для нейтральных атомов, и при определенных условиях интенсивность запрещённых линий в спектрах М. и. становится значительной. Так, в плотной плазме интеркомбинац. линия  $2^3P_1 - 1^1S_0$  (см. *Интеркомбинационные квантовые переходы*) в спектрах гелиеподобных ионов с  $z > 10$  имеет сравнимую с резонансной линией  $2^1P_1 = 1^1S_0$  интенсивность. В нейтральных атомах HeI магн. дипольный переход  $2^3S_1 - 1^1S_0$  запрещён правилами отбора, в то же время в спектрах испускания плазмы низкой плотности соответствующая линия, принадлежащая гелиеподобным М. и., отчётливо регистрируется и используется для диагностики плазмы. Спектры М. и. изоэлектронного ряда сходны со спектрами нейтральных атомов, имеющих то же число электронов, они лишь смещаются в КВ-область (длина волны  $\lambda \sim z^{-2}$ ). Так, длины волн резонансных линий атомов H и He составляют 1216 и 593 Å, а соответствующие линии в спектрах водородоподобных ([H]) и гелиеподобных ([He]) ионов железа — 1,78 и 1,85 Å. В спектрах М. и. появляются, кроме того, дополнит. линии, отсутствующие в спектрах нейтральных атомов; их наз. *сателлиты*. Одна из причин их появления — влияние процесса *диэлектронной рекомбинации* М. и. при их взаимодействии с электронами плазмы. Такой процесс происходит в два этапа: сначала М. и. захватывают электрон, образуя автоионизац. состояния, энергия к-рого лежит выше границы ионизации образующегося иона; при этом в ионе одноврем. возбуждается ещё один или более электронов. Автоионизац. состояние затем может распадаться по двум каналам: автоионизационному — с испусканием электрона или радиационному — с испусканием кванта и переходом в «стабильное» (лежащее ниже границы ионизации) состояние. Для М. и. характерен радиац. канал распада с испусканием фотона  $\hbar\omega$ . В результате таких переходов в спектре М. и. появляется линия-сателлит на частоте  $\omega$ , соответствующий переходу в ионе, кратность к-рого на единицу меньше. Так, сателлитами резонансной линии  $1s2p\ 1^1P_1 - 1s^2\ 1^1S_0$  гелиеподобных ионов являются линии, соответствующие переходам между конфигурациями  $1s2p^2 - 1s^22p$  в [Li] ионах. Ионы в дважды (или многократно) возбуждённых состояниях могут образоваться также при др. элементарных процессах.

Наиб. полно исследованы спектры [He] ионов и их сателлиты, т. е. спектры [Li] ионов. Эти ионы достаточно просты для исчерпывающего теоретич. анализа и информативны для определения параметров лаб. и астрофиз. плазм. Обозначения, принятые для спектральных линий [He] и [Li] ионов, приведены в табл. 1. Присутствие одного или неск. дополнит. электронов незначительно изменяет длины волн сателлитов по сравнению с осн. линией. Напр., для резонансной линии (*w*) гелиеподобного иона FeXXV  $\lambda = 1,8504$  Å, а для её *d*-и *q*-сателлитов, т. е. ионов Fe XXIV,  $\lambda = 1,8628$  и 1,8610 Å соответственно.

С ростом *z* возрастает интенсивность сателлитов, она пропорциональна коф. ветвления  $A/(A + W)$ , где *A* и *W* — вероятности радиац. и автоионизац. распадов автоионизац. состояний. Вероятность *W* слабо зависит от *z*, в то время как *A* резко возрастает с ростом *z* (для электрич. дипольных переходов  $A \sim z^4$ ), поэтому при больших *z* распад автоионизац. состояний происходит гл. обр. по радиац. каналу, т. е. с образованием линий-сателлитов. Сателлиты, как правило, имеют малую ширину (по отношению к расстоянию между ними) и при достаточном спектральном разрешении хорошо регистрируются. Т. о., в спектрах излучения М. и. сосредоточено большое число спектральных линий сравнимой интенсивности: линий, принадлежащих иону данной кратности (в т. ч. запрещённых, компонент тонкой структуры), а также сателлитов, испускаемых ионами меньших кратностей. Каждый ограниченный спектральный интервал содержит богатую информацию о строении иона, а также о параметрах плазмы, в к-рой он существует.

Табл. 1.

Электронная конфигурация	Мультиплет	$J - J'$	Обозначение
$1s2p^2 - 1s^22p$	$^3P - ^1P_0$	$\frac{1}{2} - \frac{1}{2}$ $\frac{3}{2} - \frac{1}{2}$ $\frac{1}{2} - \frac{3}{2}$ $\frac{1}{2} - \frac{1}{2}$	a b c d
	$^4P - ^2P_0$	$\frac{5}{2} - \frac{3}{2}$ $\frac{3}{2} - \frac{1}{2}$ $\frac{3}{2} - \frac{1}{2}$	e f g
	$^4P - ^2P_1$	$\frac{1}{2} - \frac{3}{2}$ $\frac{1}{2} - \frac{1}{2}$	h i
	$^4D - ^2P_0$	$\frac{5}{2} - \frac{3}{2}$ $\frac{3}{2} - \frac{1}{2}$ $\frac{3}{2} - \frac{1}{2}$	j k l
	$^2S - ^1P_0$	$\frac{1}{2} - \frac{3}{2}$ $\frac{1}{2} - \frac{1}{2}$	m n
$1s2s^2 - 1s^22p$	$^2S - ^2P_0$	$\frac{1}{2} - \frac{3}{2}$ $\frac{1}{2} - \frac{1}{2}$	o p
	$(^1P)^2P_0 - ^1S$	$\frac{1}{2} - \frac{1}{2}$ $\frac{1}{2} - \frac{1}{2}$	q r
	$(^3P)^2P_0 - ^2S$	$\frac{3}{2} - \frac{1}{2}$ $\frac{1}{2} - \frac{1}{2}$	s t
	$^4P_0 - ^2S$	$\frac{5}{2} - \frac{1}{2}$ $\frac{1}{2} - \frac{1}{2}$	u v
$1s2p - 1s^2$	$^1P_0 - ^1S$	1 — 0	w
	$^3P_0 - ^1S$	2 — 0	x
$1s2s - 1s^2$	$^2S - ^1S$	1 — 0	y
		1 — 0	z

\* *J* и *J'* — квантовые числа полного момента начального и конечного состояний.

Спектры М. и. наблюдаются в спектрах короны Солнца и звёзд; к лаб. источникам М. и. относятся: лазерная плазма, вакуумная искра, плазменный фокус, плазма токамака, стёлларатора, пинч-источники, магн. ловушки, ускорители и т. д. Широкое распространение получили компактные ECR-источники М. и., основан-

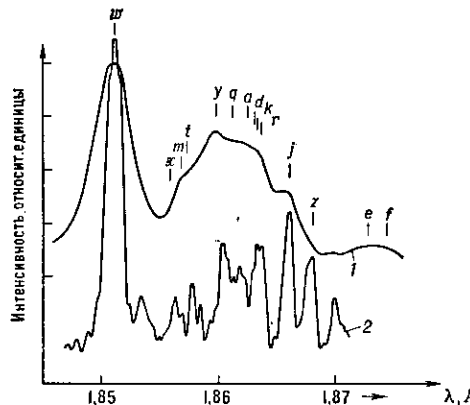


Рис. 1. Спектр вакуумной искры (*1*) и солнечной вспышки (*2*) (линии ионов Fe XXIV—XXV).

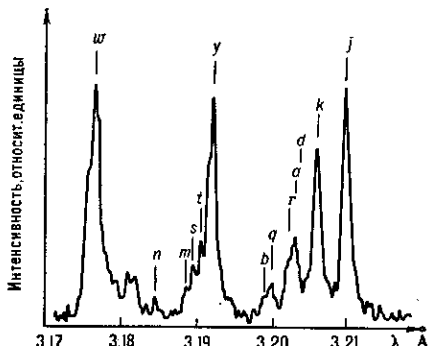


Рис. 2. Спектр лазерной плазмы (линии Ca XVIII—XIX).